

زمین‌شناسی، کانی‌سازی، زمین‌شیمی و بررسی سیال‌های درگیر در منطقه اکتشافی مس مشکان، شمال‌شرق سبزوار

محبوبه مرادی ناوخ^۱، آزاده ملکزاده شفارودی^{۲*}، مریم جاویدی مقدم^۱

۱- گروه زمین‌شناسی، دانشکده علوم، دانشگاه فردوسی مشهد، مشهد، ایران

۲- گروه زمین‌شناسی و گروه پژوهشی اکتشاف ذخایر معدنی شرق ایران، دانشکده علوم، دانشگاه فردوسی مشهد، مشهد، ایران

(دريافت مقاله: ۹۸/۹/۲۲، نسخه نهايی: ۹۸/۱۲/۲۴)

چكیده: منطقه اکتشافی مس مشکان در شمال‌شرق سبزوار و در جنوب کمریند ماغمايی قوچان-سبزوار واقع است. زمین‌شناسی منطقه شامل واحد آتشفسانی (هورنبلند آندزيت) و واحدهای رسوبی (كنگلومرا، ماسه‌سنگ، آهک، شيل و آهک ماسه‌اي) به سن ائوسن است. کانی‌سازی رگه‌ای مس بيشتر با راستای شمال‌شرق-جنوب‌غرب در واحدهای رسوبی ايجاد شده است. کانی‌های اوليه شامل کوارتز، باريت، پيريت، كالكوسيت و بورنيت هستند که در اثر اكسايش به کانی‌های ملاكيت، آزوريت، كالكوسيت، كولوليت، گوتيت و هماتيت تبدیل شده‌اند. بيشترین بي‌هنجرائي‌هاي زمین‌شیمی در رگ‌ها برای مس ۴/۶ درصد (با ميانگين ۲/۱ درصد)، آرسنيک ۱۰۰ گرم در تن (با ميانگين ۵۵/۱ گرم در تن) و آنتيموان ۶۵ گرم در تن (با ميانگين ۲۸/۶ گرم در تن) است. بر پايه بررسی سیال‌های درگیر دو فازی در کانی کوارتز و باريت، كميته دمای تشکيل کانی‌سازی ۱۷۰ تا ۲۴۰ درجه سانتي‌گراد و درجه شوري بین ۱۰/۷ تا ۱۵/۲ درصد وزنی است. کاهش دما و رقيق شدگی توسط آبهای جوي می‌توانند مهمترین عوامل تهنشست سولفیدها باشند. کنترل ساختاري کانی‌سازی، دگرسانی محدود به کناره رگ، دما و شوري کم محلول کانه‌دار و کانی‌شناسی ساده ذخيره، مشابه کانسارهای رگه‌ای فraigراميی است.

واژه‌های کلیدی: کانی‌سازی؛ زمین‌شیمی؛ سیال‌های درگیر؛ مشکان؛ سبزوار؛ خراسان رضوی.

به سمت شمال تا کوه‌های البرز ادامه دارد [۱]. اين نوار آتشفسانی در يك پهنه فرورانشي تشکيل شده است، اغلب ماهيت آهکي قليائي دارد و سن آن از جنوب (در کنار نوار افيوليتي سبزوار) به سوي شمال (جنوب قوچان) از ائوسن تا پليوپليستوسن تغيير می‌کند [۲]. حجم عمدۀ سنگ‌های آتشفسانی با ماهيت آهکي قليائي وجود تعداد بسياري کانی‌سازی‌هاي آهن و مس مانند معدن مس- طلا-اورانيوم-عنصر خاکي نادر سبك نوع مس- طلا همراه با اكسيد آهن (IOCG) فิروزه نيشابور [۳] آهن ± مس شترسنگ [۴]، آهن ابوزر [۵]، مس- طلاي پورفيري جلمبادان [۶]، کانسار مگنتيت- آپاتيت خانلوق [۷] همراه با نهشته‌های فراوان مس، نشان دهنده

مقدمه

منطقه اکتشافی مس مشکان در استان خراسان رضوی و در فاصله ۵۵ کيلومetri شمال‌شرق شهرستان سبزوار (شمال سلطان آباد و شمال غرب روستاي مشکان) بين طول‌های ۵۵° ۳۶' ۳۷" تا ۴۰° ۵۸' ۵۸" و عرض‌های ۳۵° ۳۷' ۵۹" تا ۳۸° ۳۵' ۴۰" واقع است. اين منطقه از نظر زمین‌شناسی در مرز بين پهنه زمین‌ساختاري البرز شرقی، پهنه بینالود و شمال پهنه افيوليتي سبزوار واقع شده است (شکل ۱).

منطقه مورد بررسی در جنوب کمریند ماغمايی قوچان سبزوار قرار دارد است. اين کمان ماغمايی با روند شمال‌غربي جنوب‌شرقی درافيلييت سبزوار و پيرامون آن نفوذ کرده است و

ترکیب اسید نیتریک و اسید هیدروکلریدریک بدست می‌آید) برای ۳۴ عنصر و به روش عیارسنگی گرمایی برای طلا در آزمایشگاه زرآزمای تجزیه شدند.

برای بررسی سیال‌های درگیر، ۳ مقطع دوبرصیقل از کانی کوارتز (مهمترین کانی باطله همراه با کانی‌سازی مس) و یک مقطع دوبرصیقل از کانی باریت تهیه شدند و دماسنگی، تعیین نوع نمک‌ها و مقدار شوری برای آن‌ها انجام شد. این آزمایش با یک دستگاه سرد کننده و گرم کننده ساخت شرکت لینکام مدل THM 600 در دانشگاه فردوسی مشهد انجام شد. دقت کار دستگاه در مرحله‌های سرد و گرم کردن $1^{\circ}\text{C} \pm 0.5^{\circ}$ و گستره دمایی دستگاه بین ۱۹۰-تا $+600^{\circ}$ درجه سانتیگراد است. مقدار شوری در سیستم $\text{H}_2\text{O}-\text{NaCl}$ با استفاده از نرم افزار HOKIEFLINCS- $\text{H}_2\text{O}-\text{NaCl}$ موجود در سامانه اکسل [۹،۸] محاسبه شده است. سپس نمودارهای مناسب در نرم افزار SPSS رسم گردیدند.

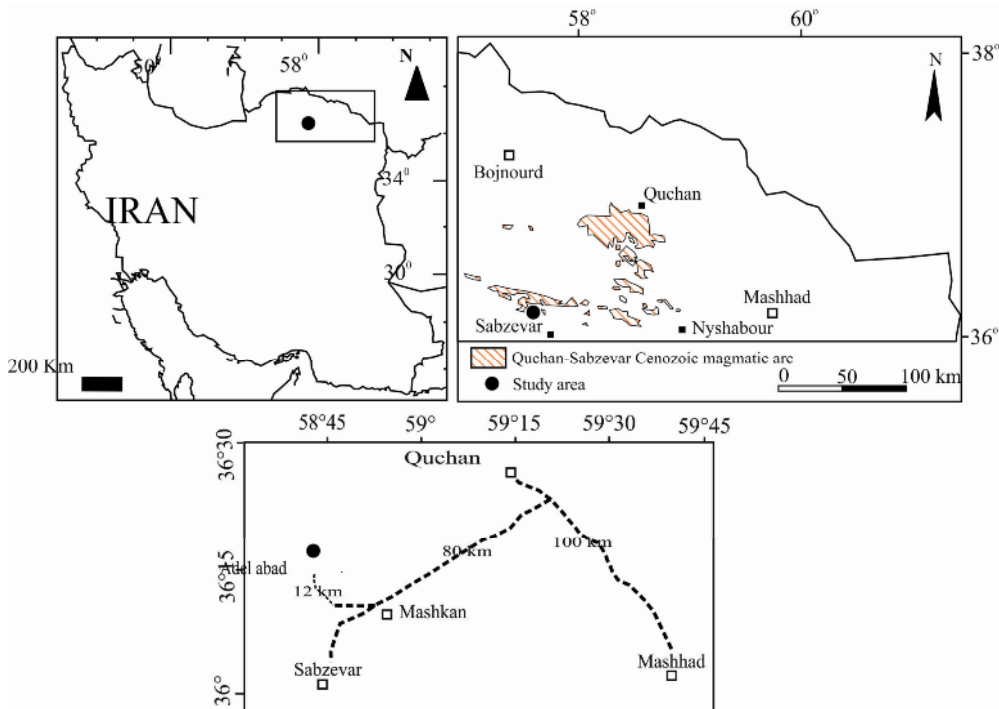
زمین‌شناسی

از نظر زمین‌شناسی، منطقه مورد بررسی در گوشه جنوب غرب نقشه ۱:۱۰۰۰۰۰ مشکان [۱۰] واقع است. حجم عمدۀ سنگ‌های رخنمون یافته در این منطقه، واحدهای رسوبی کنگلومرا، ماسه‌سنگ، آهک، شیل و ماسه‌سنگ آهکی به سن ائوسن هستند (شکل ۲).

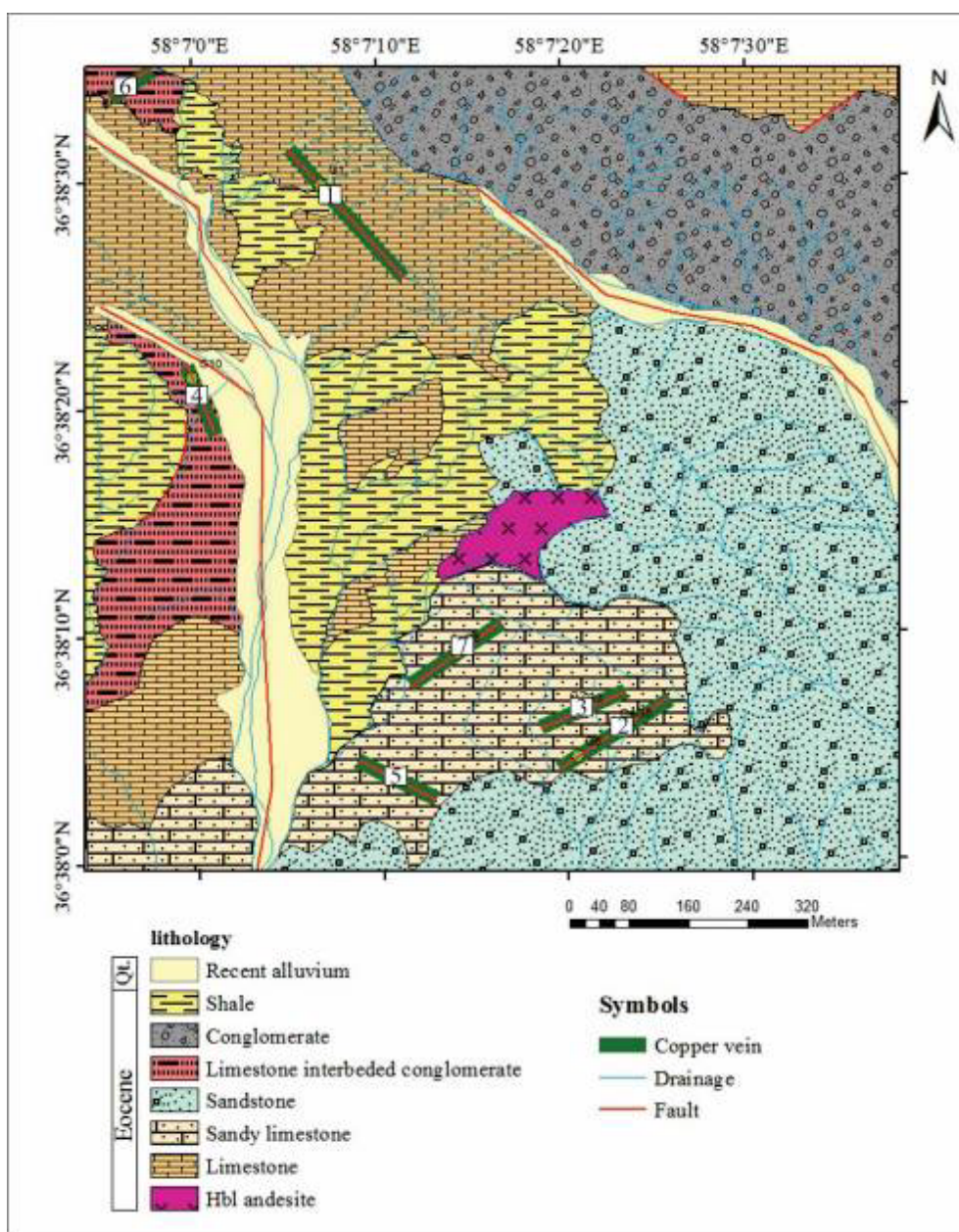
پتانسیل بالای این کمان ماگمایی برای کانی‌سازی‌های مختلف است. در گزارش نقشه ۱:۱۰۰۰۰۰ مشکان، منطقه اکتشافی مس مشکان فقط به عنوان یک نهشته باریت معرفی شده است، و بنابراین از نظر علمی هیچ بررسی تفصیلی پیوژه پیرامون بخش مس‌دار آن انجام نشده است. این پژوهش نخستین بررسی پیرامون کانی‌سازی مس افزون بر باریت موجود در این منطقه است. در این مقاله، نتایج بررسی‌های کانی‌شناسی، بافتی، زمین‌شیمی و سیال‌های درگیر و سرانجام مدل کانی‌سازی ارائه شده است.

روش بررسی

به منظور شناسایی ماهیت کانی‌سازی در منطقه اکتشافی مشکان، نخست برداشت اطلاعات صحرایی و نمونه‌برداری از واحدهای سنگی و رگه‌های مس و باریت در گستره‌ای به وسعت تقریبی ۱ کیلومترمربع انجام شد. در مجموع، تعداد ۲۰ مقطع نازک و ۱۸ مقطع نازک صیقلی و قطعه صیقلی تهیه و بررسی شدند. سپس بر پایه برداشت‌های صحرایی و آزمایشگاهی، نقشه زمین‌شناسی-کانی‌سازی با مقیاس ۱:۲۰۰۰ در نرم‌افزار Arc GIS تهیه شد. به منظور بررسی زمین‌شیمی، تعداد ۸ نمونه خردۀ سنگی از محل ترانشه‌ها برداشت و پس از خردایش و نرمايش به روش طیف‌سنگی نشر نوری پلاسمای جفت شده القایی (ICP-OES) با محلول تیزآب سلطانی که از



شکل ۱ جایگاه منطقه مشکان در شمال شرق ایران و راههای دسترسی به آن همراه با موقعیت کمربند ماگمایی قوچان-سبزوار.



شکل ۲ نقشه زمین‌شناسی-کانی‌سازی منطقه مس مشکان.

درصد)، بیوتیت (۲-۳ درصد)، فلدوپات قلیابی (۲-۳ درصد) و کوارتز (۱-۲ درصد) است. هورنبلندها دارای لبه سوخته هستند (شکل ۳ الف). این واحد آتشفسانی تنها رخنمون از سنگ‌های آتشفسانی کمان ماقمایی قوچان-سیزوار است که در چارگوش منطقه مورد بررسی دیده می‌شود. سنگ‌های رسوبی بیشترین گسترش را در منطقه مورد بررسی دارند. در قسمت‌های شمال تا شمال شرق، واحد کنگلومرایی رخنمون داشته که در آن، قطعه‌هایی از جنس آندزیت و تراکی آندزیت به اندازه ۱ در ۱ متر (در صحراء) تا ۱-۲ سانتی‌متر (زیر میکروسکوپ) وجود

براساس بازدید صحراوی و بررسی‌های آزمایشگاهی، واحدهای زمین‌شناسی شناسایی شده در گستره اکتسافی مشکان به دو دسته سنگ‌های آتشفسانی و سنگ‌های رسوبی تقسیم می‌شوند. قدیمی‌ترین واحد سنگی منطقه، واحد آتشفسانی هورنبلنده‌ای است که قطعه‌هایی از آن در کنگلومرای رخنمون یافته دیده شد. این واحد در قسمت مرکزی منطقه رخنمون یافته است (شکل ۲). واحد هورنبلنده آندزیت دارای بافت پورفیری بوده (۴۵ درصد درشت بلور) و شامل کانی‌های پلازیوکلاز (۲۵-۳۰ درصد)، هورنبلنده (۵-۷

سانسی متر شناسایی شد. در این دگرسانی، اغلب پلازیوکلازها به کانی های رسی تبدیل شده‌اند. دگرسانی غالب در منطقه مورد بررسی سیلیسی شدن است که بیشتر به صورت کوارتز به اندازه ۰/۱ تا ۳ میلی متر همراه با ماده معدنی دیده می‌شود. این دگرسانی همچنین به صورت کوارتز نهان بلور در سنگ میزبان دیده می‌شود. دگرسانی کربناتی به صورت رگچه‌های کلسیت با عرض حدود ۱ تا ۲ میلی متر بوده و بدون کانی‌سازی است. این رگچه‌ها در بعضی قسمت‌ها کانی‌سازی را قطع کرده‌اند و تاخیری هستند. دگرسانی پروپلیتی ضعیف نیز اغلب بر واحد آندزیتی اثر گذاشته و موجب شده است که طی آن، هورنبلند به کلریت و پلازیوکلاز به اپیدوت تبدیل شوند.

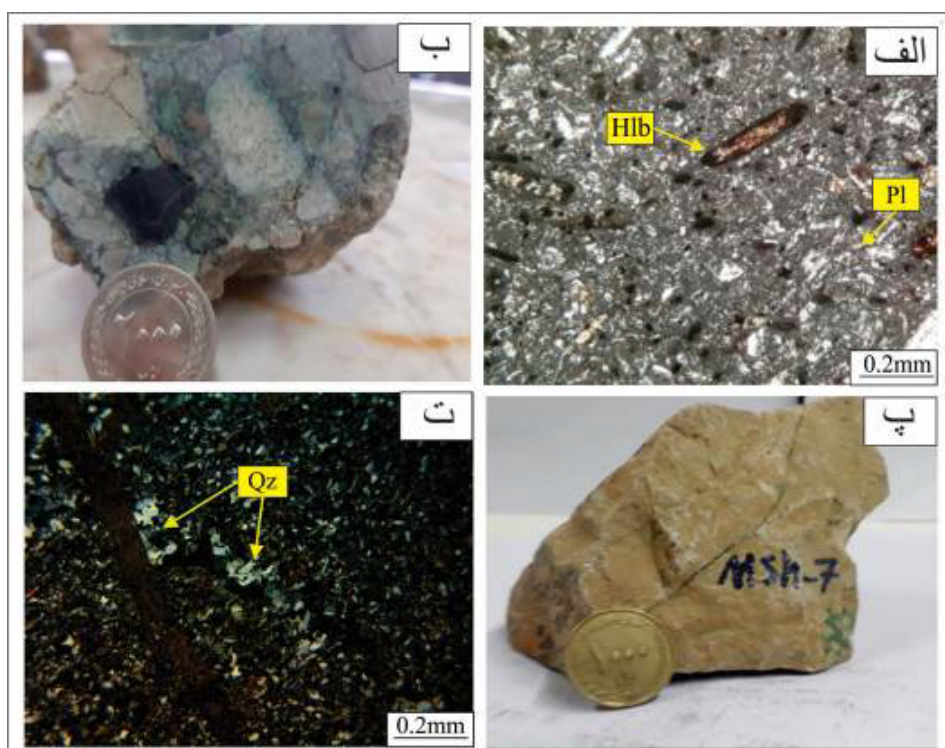
کانی‌سازی

کانی‌سازی در منطقه مشکان کنترل گسلی دارد و به صورت رگه‌ای و روزادی است (شکل ۴ الف). عمدترين سنگ میزبان رگه‌ها واحد آهک ماسه‌ای است. همچنین در واحدهای آهکی و آهک، رگه‌ها با میان لایه‌های کنگلومرا (شکل ۴ ب) نیز رگه‌ها دیده شدند. تعداد ۷ رگه اصلی در منطقه شناسایی شد (شکل ۴).

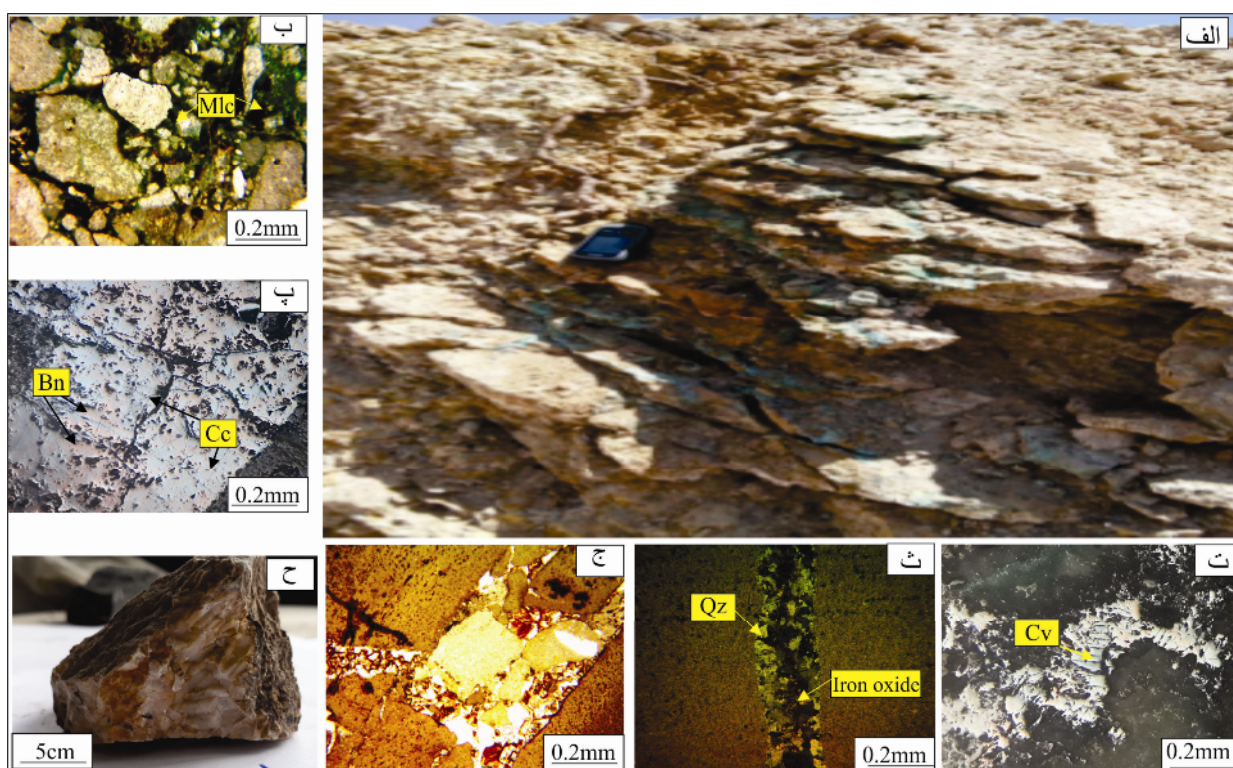
دارند (شکل ۳ ب). واحد آهکی در قسمت‌های شمالی و جنوب‌غرب منطقه گسترش یافته (شکل ۲) و بیشتر از کربنات تشکیل شده است و قطعه‌هایی از ماسه‌سنگ را نیز شامل می‌شود (شکل ۳ پ). رگه شماره یک مس‌دار با روند شمال‌غرب-جنوب شرق در این واحد میزبان است. در قسمت‌های مرکزی به سمت جنوب، واحد آهک ماسه‌ای رخنمون دارد و بیشتر رگه‌های کانی‌سازی در این واحد، شناسایی شدند (شکل ۲). در این واحد کربنات و کوارتز فراوان یافت می‌شوند. واحد ماسه-سنگ در قسمت‌های شرق تا جنوب‌شرقی منطقه گسترش یافته (شکل ۲) و از کوارتز، کانی‌های کدر و به مقدار بسیار کم فلدسپار تشکیل شده است (شکل ۳ ت). همچنین در بخش-هایی از غرب و شمال‌غرب، واحد آهکی با میان لایه‌هایی از کنگلومرا و در قسمت‌های مرکزی تا غرب نیز واحد شیلی رخنمون دارند. این واحد نیز میزبان یک رگه مس‌دار و باریت است (شکل ۲).

دگرسانی

در سامانه‌های رگه‌ای، گسترش دگرسانی محدود به پیرامون رگه است. دگرسانی آرژیلی در لبه رگه به ضخامت ۳ تا ۵



شکل ۳ واحدهای سنگی منطقه مس مشکان: (الف) تصویر میکروسکوپی واحد هورنبلند آندزیت، (ب) نمونه دستی از کانی‌سازی مالاکیت در بین قطعه‌های کنگلومرا، (پ) واحد آهکی و (ت) تصویر میکروسکوپی رگچه کوارتز در واحد ماسه‌سنگ. تصاویر میکروسکوپی در نور قطبیده مقاطع، XPL، گرفته شده‌اند. (Hlb=هورنبلند، Pl=پلازیوکلاز و Qz=کوارتز [۱۱]).



شکل ۴ تصاویر صحرایی و میکروسکوپی از کانی‌سازی منطقه اکتشافی مس مشکان: (الف) نمایی از رگه مالاکیت، (ب) کانی‌سازی مالاکیت در بین قطعه‌های کنگلومرا در نور قطبیده صفحه‌ای، (پ) بورنیت و کالکوسیت‌های ثانویه همراه با کوولیت در PPL، (ث) رگچه کوارتز-اکسید آهن در نور قطبیده منقطع، XPL، (ج) اکسید آهن در PPL، (ح) نمونه دستی از باریت. (Bn = بورنیت، Cc = کالکوسیت، Cv = کوولیت، Mlc = مالاکیت و Qz = کوارتز [۱۱]).

پیریت به صورت اولیه دیده نشد، ولی در بعضی قسمت‌ها قالب آن شناسایی شد که به طور کامل به گوتیت تبدیل شده است. کوارتز مهمترین باطله همراه با کانی‌سازی است. این کانی با بافت پرکننده فضای خالی و اندازه ۵۰ میکرون تا بیش از ۳ میلی‌متر در رگچه‌ها شناسایی گردید (شکل ۴ ث). کوارتزها اغلب نیمه‌شکل‌دار تا شکل‌دار و شیری رنگ هستند. همچنین، کوارتز به صورت نهان بلور نیز شناسایی شد. مقدار جزیی دولومیت با اندازه حدود ۵۰ میکرون به صورت رگچه‌ای همراه با اکسیدهای آهن (بیشتر هماتیت) و کوارتز دیده شد. در رگچه‌های کوارتز-دولومیت-اکسید آهن، کانی سولفیدی اولیه وجود ندارد. کانی باریت بیشتر در مرکز رگه‌ها شکل گرفته است (شکل ۴ ج). این کانی در رگه‌ها دارای اندازه ۰/۱ تا ۱ میلی-متر بوده و بافت‌های توده‌ای، شعاعی و پرکننده فضای خالی را ایجاد نموده است.

فراوان‌ترین کانی ثانویه مالاکیت است که با دیگر کانی‌های ثانویه چون کالکوسیت ثانویه، آزوریت، هماتیت و گوتیت همراه است (شکل ۵). مالاکیت کانی ثانویه کربناتی مس است که به

رگه‌های مس‌دار با عرضی حدود ۱ متر و طول ۱۰ تا ۱۵ متر با روند شمال‌شرق - جنوب‌غرب و شب تقریبی ۳۰ تا ۳۵ درجه به سمت شمال هستند (شکل ۴ الف). کانی‌سازی در این رگه-رگچه‌ها شامل کانی‌های اولیه کوارتز، پیریت، کالکوسیت، بورنیت، باریت و کانی‌های ثانویه مالاکیت، آزوریت، کالکوسیت، کوولیت، گوتیت و هماتیت است (شکل ۵).

کالکوسیت فراوانترین کانی سولفیدی در رگچه‌ها بوده و اغلب به دو صورت اولیه و ثانویه قابل دیده است. کالکوسیت اولیه اغلب بصورت درشت دانه با ابعاد ۰/۵ تا ۲ میلی‌متر در رگه‌ها همراه با بورنیت (همرشدی) دیده می‌شود (شکل ۴ پ). نبود لبه واکنشی برای کالکوسیت نشان دهنده شکل‌گیری آن به صورت اولیه است [۱۲، ۱۳]. این کالکوسیت‌ها درشت‌بلور هستند و به رنگ خاکستری روشن دیده می‌شوند. بورنیت به صورت نیمه شکل‌دار تا بی‌شکل و با اندازه ۰/۲ تا ۱ میلی‌متر در رگچه‌ها دیده می‌شود. بورنیت اغلب همراه با کالکوسیت اولیه با بافت هم رشدی (میرمیکیتی) وجود دارد (شکل ۴ پ).

۴۶۹۶۵ گرم در تن در تغییر است. بیشترین مقدار مس مربوط به رگه شماره ۴ در غرب منطقه در سنگ میزبان آهک با میان لایه کنگلومرا بوده و به دلیل حضور کانی‌هایی چون مالاکیت، بورنیت و کالکوسیت است. مقدار آرسنیک از ۲ گرم در تن تا بیش از ۱۰۰ گرم در تن متغیر است. بیشترین مقدار آرسنیک در رگهای شماره ۱ تا ۴ واقع در قسمت جنوب‌شرق منطقه و در واحد آهک ماسه‌ای و همچنین در واحد آهکی در بخش شمالی و واحد آهک با میان لایه‌هایی از کنگلومرا در بخش غربی منطقه دیده می‌شود. مقدار باریم نیز به طور متوسط از ۲۲۴ تا ۸۵۱۳ گرم در تن در تغییر است که بیشترین مقدار آن در بخش جنوبی منطقه در واحد آهک ماسه‌ای و مربوط به رگه شماره ۵ است. گستره تغییرات سرب و روی نیز به ترتیب ۶ تا ۲۹ و ۲۸ تا ۵۰۷ گرم در تن است، اما هیچ کانی مشخصی برای این دو عنصر در مقاطع دیده نشد. بیشترین مقدار سرب مربوط به رگه شماره ۲ در واحد آهک ماسه‌ای (جنوب شرق منطقه) و بیشترین مقدار روی در ارتباط با رگه شماره ۱ در واحد آهکی (بخش شمالی منطقه) است. مقدار آنتیمووان نیز از ۱۰۲ تا ۶۵۴ گرم در تن تغییر می‌کند که بیشینه آن در بخش جنوبی منطقه و مربوط به رگه شماره ۵ و دارای همبستگی مثبت با باریم است. براساس تجزیه طلا، هیچ ناهنجاری طلا در رگه‌ها وجود ندارد و همه مقادیر آن کمتر از ۵ میلی‌گرم در تن است.

صورت لکه‌های پراکنده تا جانشینی کامل سولفیدها در حجم بالا در نواحی اکسایشی دیده می‌شود (شکل ۴ ب). اغلب کانی‌های سولفیدی اولیه کالکوسیت و بورنیت تبدیل به کانی مالاکیت شده‌اند و گاه در میان آنها، کالکوسیت و کوولیت به صورت باقیمانده دیده می‌شود. آزوریت دیگر کانی ثانویه کربناتی مس است که با فراوانی بسیار کم نسبت به مالاکیت، همراه با این کانی در محل درز و شکستگی‌ها وجود دارد. کالکوسیت ثانویه با اندازه چند ده میکرون اغلب همراه با کوولیت در زون اکسایشی دیده می‌شود. کوولیت در زون اکسایشی، در لبه و سطوح درز و شکستگی‌های کانی کالکوسیت دیده می‌شود. گوتیت توسط هوازدگی و اکسایش پراکنده و بافت گل کلمی قابل دیده است. هماتیت بیشتر در رخمنون‌های سطحی رگه‌ها و رگچه‌ها را آغشته نموده است (شکل‌های ۴ ث و ج).

زمین‌شیمی

در بررسی‌های زمین‌شیمی، چگونگی پراکنده‌ی عناصر مختلف در رگه‌های کانه‌دار و ارتباط و همبستگی این عناصر با هم مورد نظر است. نتایج تجزیه زمین‌شیمی نمونه‌های برداشت شده از محل ترانشه‌ها (عمود بر راستای رگه کانی‌سازی) به روش خرد سنگی در جدول ۱ است. مقدار مس در نمونه‌ها از ۳۴ تا

Minerals	Hypogene	Late Stage	Oxidized zone
Pyrite		
Bornite	—		
Chalcocite	—		—
Quartz	—	—	—
Barite	—	—	—
Calcite		—	—
Dolomite		—	—
Clay mineral	—		
Chlorite		—	
Epidote		—	
Covellite			—
Hematite			—
Goethite			—
Malachite			—
Azurite			—

شکل ۵ توالی همیزایی و ترتیب تشکیل کانی‌ها و کانه‌ها در منطقه اکتشافی مس مشکان.

جدول ۱ نتایج تجزیه زمین‌شیمیایی نمونه‌های خرد سنگی منطقه مشکان به روش ICP-OES

شماره نمونه	As (ppm)	Ba (ppm)	Cu (ppm)	Pb (ppm)	Sb (ppm)	Zn (ppm)
G1	۱۰۰>	۷۵۳	۶۵۷۵	۲۵	۱۹.۵	۵۰.۷
G2	۱۰۰>	۶۲۹	۳۹۱۰.۲	۲۹	۳۵.۸	۱۸۸
G3	۱۰۰>	۲۲۴	۲۷۷۵۸	۲۳	۵۱.۵	۲۹۲
G4	۱۰۰>	۷۳۴	۴۶۹۶۵	۱۷	۱.۰۴	۸۷
G5	۲۳.۹	۱۰۲۱	۴۰۱۵۷	۸	۱.۰۲	۸۵
G6	۱۲.۶	۲۹۲	۷۲۲۶	۷	۱۱	۷۹
G8	۱.۹	۸۵۱۲	۳۴	۲۶	۶۵.۴	۲۸
G10	۲	۴۱۴	۵۵	۶	۴۳.۷	۳۵

که کانی اسفالریت در اثر اکسایش به کانی ثانویه تبدیل شده باشد. روی با آهن همبستگی مثبت بالا ($+0.886$) نشان می-دهد که می‌تواند مربوط به وجود کانی‌های ثانویه روی دار یا جذب روی در ساختار اکسیدهای آهن در پهنه گوسان باشد.

بررسی سیال‌های درگیر

در منطقه مشکان، کوارتز مهمترین و فراوان ترین کانی غیرفلزی همراه با رگه-رگچه‌های مس بوده که دارای سیال‌های درگیر مناسب برای تعیین دما و شیمی محلول کانه‌دار است. همچنان در این رگه‌ها، باریت کانی مناسب برای این بررسی‌های است. بررسی سیال‌های درگیر برای ۳ مقطع دوبرصیقل از کانی‌های کوارتز همراه با کانی‌سازی مس و یک مقطع دوبرصیقل از کانی باریت مربوط به رگه باریت منطقه انجام شد که چکیده نتایج در جدول ۳ آمده است.

توزیع عناصر در واحدهای سنگی و واستگی آنها با هم از مهم‌ترین موارد بررسی‌های زمین‌شیمیایی است که با استفاده از آن می‌توان به محیط و فرایندهای موثر در پدیده‌های مختلف زمین‌شناسی پی برد [۱۴]. با استفاده از ضریب همبستگی پیرسون [۱۵]، ارتباط و همبستگی میان عناصر مختلف در پهنه کانی‌سازی منطقه مشکان بررسی شد (جدول ۲). مس با آهن همبستگی مثبت ضعیف ($+0.194$) نشان می‌دهد که بیانگر نبود کالکوپیریت به عنوان کانه اصلی در منطقه است (این کانی در منطقه مورد بررسی شناسایی نشد). مس با آرسنیک همبستگی مثبت متوسط ($+0.511$) و با نقره همبستگی مثبت بالا ($+0.851$) نشان می‌دهد که می‌تواند بیانگر حضور این عناصر در ترکیب کالکوپیریت باشد. همچنان نقره با سرب همبستگی مثبت ضعیف ($+0.249$) دارد. هرچند کانی سولفیدی اولیه روی دار (اسفالریت) در منطقه شناسایی نشد، اما بر پایه داده‌های زمین‌شیمی، این احتمال وجود دارد.

جدول ۲ ضرایب همبستگی مربوط به هر جفت عنصر در پهنه گوسان منطقه شورک (+++: همبستگی مثبت بالا، ++: همبستگی مثبت متوسط، +: همبستگی مثبت ضعیف، -: همبستگی منفی ضعیف، --: همبستگی منفی متوسط و ---: همبستگی منفی بالا). (فرمت اعداد اعشاری جدول درست نمی‌باشد!)

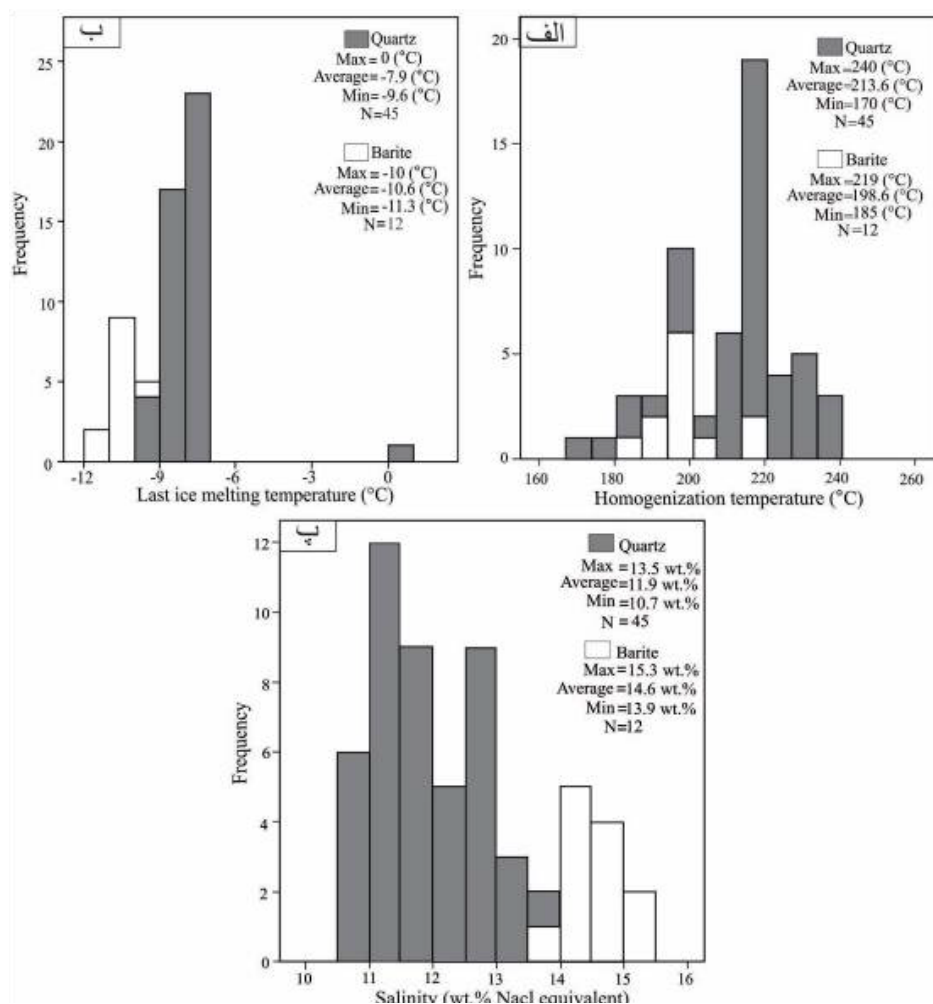
	As	Ba	Cu	Sb	Zn	Pb	Ag	Fe
As	۱	-	++	-	+++	+++	+++	+++
Ba	$0.352-$	۱	--	-	-	--	--	--
Cu	0.352	$0.389-$	۱	--	-	+	+++	+
Sb	$0.121-$	$0.266-$	$0.376-$	۱	-	-	--	+
Zn	-0.690	$0.325-$	$0.19-$	$0.80-$	۱	++	++	+++
Pb	0.681	0.360	0.115	-0.132	0.512	۱	+	++
Ag	0.686	$0.490-$	0.851	$0.468-$	0.468	0.249	۱	+
Fe	0.839	$0.377-$	0.194	0.158	0.886	0.646	0.531	۱

جدول ۳ نتایج ریزدماسنجی سیال‌های درگیر اولیه در منطقه مس مشکان.

شماره نمونه	کانی میزان	تعداد	T_h (°C)	$T_{m\text{-}ice}$ (°C)	(wt.%NaCl)
M-17	کوارتز	۱۴	۲۴۰ تا ۱۸۴	-۹.۶ تا -۸.۲	۱۳.۵ تا ۱۱.۹
M-9	کوارتز	۱۵	۲۲۱ تا ۲۱۲	-۸.۸ تا ۰	۱۲.۶ تا ۱۱.۹
MP	کوارتز	۱۶	۲۲۶ تا ۱۷۰	-۷.۹ تا -۷.۲	۱۱.۶ تا ۱۰.۷
M-18	باریت	۱۲	۲۱۹ تا ۱۸۵	-۱۱.۳ تا -۱۰	۱۵.۳ تا ۱۳.۹

نخستین دمای ذوب شدگی رابطه مستقیمی با ترکیب نمک موجود در سیال گرمابی دارد T_{fm} [۱۷، ۱۶]. مقادیر T_{fm} بدست آمده بیانگر حضور نمک‌های CaCl_2 و NaCl در سیال کانه‌سازی است. دمای نهایی ذوب (T_m) نیز برای کوارتز بین ۹/۶ تا صفر درجه سانتی‌گراد با میانگین ۷/۹ درجه سانتی‌گراد و برای باریت ۱۱/۳ تا ۱۰ درجه سانتی‌گراد با میانگین ۱۰/۶ درجه سانتی‌گراد است (شکل ۶ ب). براساس سامانه- H_2O [۹/۸]، مقدار شوری برای سیال‌های درگیر از نوع کوارتز ۱۰/۷ تا ۱۳/۵ درصد وزنی NaCl با میانگین ۱۱/۹ درصد وزنی NaCl و برای سیال درگیر نوع باریت ۱۳/۹ تا ۱۵/۳ درصد وزنی NaCl با میانگین ۱۴/۶ درصد وزنی NaCl است (شکل ۶ ب).

براساس بررسی‌های انجام شده، اغلب سیال‌های درگیر در نمونه‌ها بی‌شکل تا شکل دار و با شکل‌های مثلثی، مخروطی و به مقدار کمتر میله‌ای هستند. اندازه سیال‌های درگیر بررسی شده حدود ۴ تا ۷ میکرون و بیشتر آنها کوچکتر از ۵ میکرون هستند. بر اساس تقسیم‌بندی‌های معمول [۱۷، ۱۶]، این سیال‌ها از نوع دوفازی غنی از مایع (LV) و تک فاز مایع (L) هستند. دمای همگن‌شدگی (T_h) برای سیال‌های درگیر از نوع کوارتز ۱۷۰ تا ۲۴۰ درجه سانتی‌گراد با میانگین ۲۱۳ درجه سانتی‌گراد و برای باریت ۱۸۵ تا ۲۱۹ درجه سانتی‌گراد با میانگین ۱۹۸ درجه سانتی‌گراد است (شکل ۶ الف). نخستین دمای ذوب شدگی (T_{fm}) در این سیال‌ها نیز برای کوارتز در ۵۷/۷ تا ۵۳/۸ درجه سانتی‌گراد و برای باریت ۵۴/۷ تا ۵۴ درجه سانتی‌گراد است.



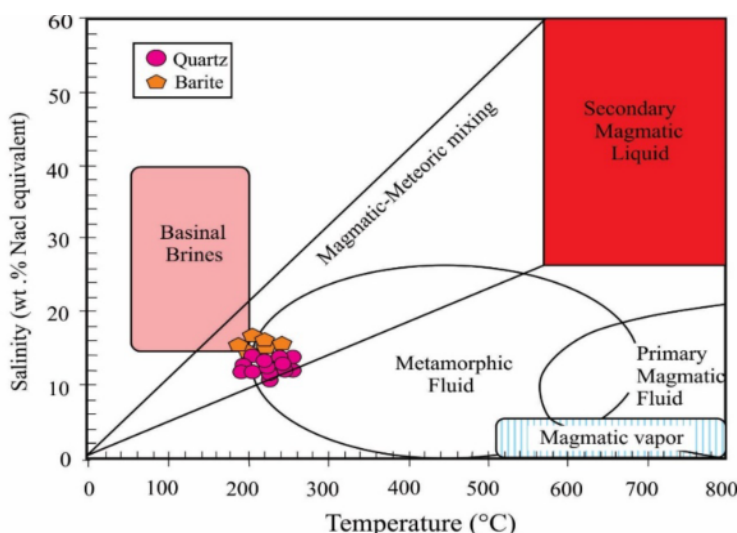
شکل ۶ نمودارهای ستونی (الف) دمای همگن شدگی، (ب) آخرین دمای ذوب (ج و پ) مقدار شوری مربوط به کانی‌سازی رگه‌ای در منطقه مشکان.

بحث

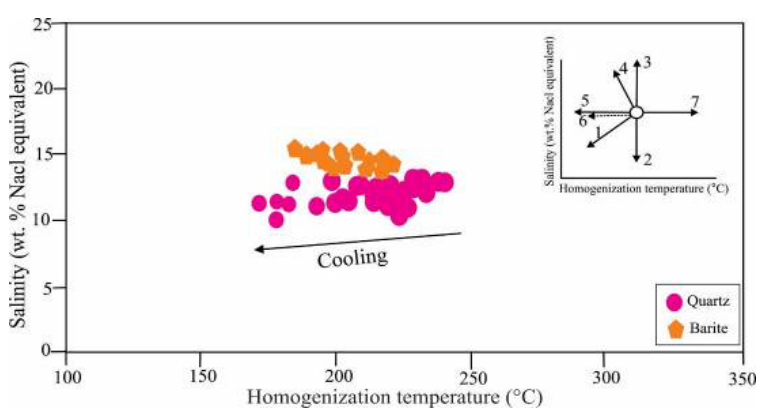
تکامل سیال کانه‌ساز

نمودار شوری نسبت به دمای همگن شدگی برای محیط آب‌های مختلف برای سیال‌های درگیر (LV) نشان می‌دهد که بخشی از سیال‌های درگیر منطقه مشکان در گستره آمیختگی آب ماقمایی و آب‌های جوی و بخش کمی در محیط آب‌های دگرگونی قرار دارند (شکل ۷). از آنجا که آثار دگرگونی ناحیه‌ای در این منطقه وجود ندارد، فرضیه دخالت آب دگرگونی در حمل فلزات پذیرفته نیست. بنابراین می‌توان محلول کانه‌دار را آمیزه‌ای از آب‌های ماقمایی و جوی در نظر گرفت.

بررسی سیال‌های درگیر منطقه مشکان نشان می‌دهد که محلول کانه‌دار با دمای ۱۷۰ تا ۲۴۰ درجه سانتی گراد و شوری ۱۰ تا ۱۳ درصد وزنی که خود نتیجه آمیختگی محلول ماقمایی گرم و شور با آب جوی سرد و دارای شوری کمتر هستند در شکل‌گیری کانی‌سازی مس و سیال دیگری با گستره دمایی مشابه (۱۸۵ تا ۲۱۹ درجه سانتی گراد) اما با شوری بیشتر (۱۳ تا ۱۵ درصد وزنی) در شکل‌گیری باریت نقش داشته است و کاهش دما نقش اصلی را در تنشست کانی‌ها ایفا می‌کند (شکل‌های ۷ و ۸). در بررسی سیال‌های درگیر، شواهد سنگنگاری برای فرآیند جوشش (حضور سیال‌های غنی از مایع و غنی از بخار) دیده نشد.



شکل ۷ نمودار شوری نسبت به دمای همگن شدگی سیال‌های درگیر منطقه مشکان (محیط‌های تعریف شده بر گرفته از مرجع [۱۸] هستند.



شکل ۸ نمودار شوری-دمای همگن شدگی سیال‌های درگیر منطقه مشکان. روندهای ممکن تکامل سیال در نمودار دما-شوری برگرفته از مرجع [۱۷] هستند. روند ۱ = مخلوط شدگی سیال A با سیال سردتر و با شوری کمتر B، روندهای ۲ و ۳ = مخلوط شدگی سیال A با سیال‌های دیگر با شوری مختلف ولی دمای یکسان، روند ۴ = افزایش شوری فاز باقیمانده در اثر جوشش، روند ۵ = سرد شدگی سیال، روند ۶ = باریک شدگی میان‌بارهای سیال و روند ۷ = تراوش میان‌بارهای سیال طی گرمایش.

در جدول ۴، برخی ویژگی‌های کانی‌سازی مس در منطقه مشکان با دیگر کانسارهای مشابه از نقاط مختلف ایران مانند شورک، غارکفتر، شکسته‌سبز، میرخش در شمال‌غرب بیرون گردید [۲۴]، زاوه در تربت حیدریه [۲۵] و مس چهل کوره در زاهدان [۲۸-۲۶] مقایسه شده است. سنگ میزبان کانی‌سازی در منطقه مشکان واحدهای رسوی بوده که متفاوت از بقیه کانسارهای است، زیرا بیشتر ذخایر رگهای مس دار در سنگ میزبان آتش‌فشاری دیده می‌شوند. البته از آنجا که سنگ میزبان نقشی در تشکیل کانسار ندارد، این امر نمی‌تواند به عنوان یک اختلاف اساسی در نظر گرفته شود. در کانسارهای رگهای مقایسه شده، انواع دگرسانی‌ها تا حدی مشابه هستند و همچنین کانی‌شناسی اولیه در آنها ساده است. دمای تشکیل کانسار مشکان از دیگر کانسارهای مقایسه شده پایین‌تر است. همچنین درصد شوری کانسار مشکان کمتر از کانسارهای شورک، غارکفتر، شکسته-سبز و میرخش مشابه با کانسار زاوه است. مقدار عنصر مس در همه این کانسارها بیش از ۲ درصد است. دمای تشکیل و درصد شوری پایین در کنار سنگ میزبان متفاوت، کانی‌سازی رگهای مس مشکان را از دیگر کانسارهای رگهای مس دار متمایز می‌کند.

برانجام می‌توان چنین گفت که عناصر فلزی ماگمایی مادر توسط محلول ماگمایی با دما و شوری بالا حمل شده و به دلیل دمای بالای توده نفوذی، به سمت بالا حرکت می‌کنند. آبهای جوی با دما و شوری پایین از درز، شکستگی‌ها و گسل‌ها به عمق راه یافته، با محلول ماگمایی آمیخته شده و فرآیند هموفتی - محلوط شدگی سیال بین توده نفوذی در عمق (به عنوان موقر گرمایی) و اعمق کمتر ایجاد شده است. برانجام بر اثر عواملی چون کاهش دما و افزایش pH، کانی‌سازی در فضای مناسب مانند پهنه‌های گسلی بر جای گذاشته شده است. از آنجا که دمای تشکیل رگهای مس دار و باریت منطقه کمتر از ۳۰۰ درجه سانتی گراد است، کمپلکس‌های بی‌سولفیدی در حمل عناصر و فلزات نقش داشته‌اند [۱۸].

مدل کانی‌سازی

رخداد کانه‌زایی مس و باریت مشکان یک کانی‌سازی رگهای با کنترل ساختاری بوده که در سنگ‌های رسوی تشکیل شده است. براساس نظر برخی پژوهشگران [۲۳-۱۹]، شواهدی مانند دما و شوری کم محلول کانه‌دار، کنترل ساختاری کانی‌سازی، نوع دگرسانی و گسترش محدود آن در لبه رگه و کانی‌شناسی ساده منطقه مشکان از نشانه‌های سامانه‌های رگهای فراگرمایی است.

جدول ۴ مقایسه کانسار مس مشکان با برخی کانسارهای رگهای مس دار در نقاط مختلف ایران

نام کانسار	سنگ میزبان	کانی‌شناسی	دگرسانی	دمای تشکیل (°C)	مقدار شوری (%)	بیشینه مقدار عنصر مس(%)	مرجع
رگه معدنی مس ± نقره میر خش (قطعه لوت)	توف آندزیتی	پیریت، کالکوسیت	سلیسی، آرژیلی، کربناتی	۲۹۳ تا ۲۱۴	۲۳ تا ۱۲	۵,۶	[۲۴]
رگه معدنی مس ± نقره شکسته سبز (قطعه لوت)	توف آندزیتی	کالکوسیت	سلیسی، آرژیلی، کربناتی	۳۱۶ تا ۲۲۸	۱۸,۲ تا ۷,۲	۲,۴	[۲۴]
رگه معدنی مس ± نقره غار کفتر (قطعه لوت)	توف آندزیتی	کالکوسیت	سلیسی، آرژیلی، کربناتی	۳۰۰ تا ۲۱۳	۱۶,۶ تا ۷,۹	۴,۲	[۲۴]
رگه معدنی مس ± نقره شورک (قطعه لوت)	توف آندزیتی	کالکوسیت، پیریت، بورنیت	سلیسی، آرژیلی، کربناتی	۲۸۶ تا ۱۷۵	۲۱,۵ تا ۹,۳	۵	[۲۴]
مس زاوه (تربت حیدریه)	جوش سنگ	پیریت، کالکوبیریت، آرسنوبیریت	سلیسی، کمتر پروپلتیک و آرژیلی	۳۸۷ تا ۳۱۰	۱۵,۸ تا ۸,۹	۲,۱	[۲۵]
مس چهل کوره (زاهدان)	ماسه سنگ تیره، شیل و لای سنگ	پیریت، پیروتیت، کالکوبیریت	سلیسی، کربناتی، کلریتی	۴۸۲ تا ۳۳۰	۱۵ تا ۱	۱	[۲۸-۲۶]
مس مشکان (شمال شرق سبزوار)	ماسه سنگ آهکی	پیریت، کالکوسیت، بورنیت	سلیسی، به صورت محدود کربناتی و پروپلتی	۲۴۰ تا ۱۷۰	۱۵,۲ تا ۱۰,۷	۴,۶	این پژوهش

مراجع

- [1] Alavi M., "Sedimentary and structural characteristics of the Paleo-Tethys remnants in northeastern Iran", Geological Society of American Bullitan 103 (1991) 983-992.
- [2] Spies O., Lensch G., Mihem A., and "Chemistry of the post-ophiolithic tertiary volcanic between Sabzevar and Quchan, NE Iran (in Persian)", in Almassi A. (eds.), Geodynamic project (geotraverse) in Iran. Geological Survey of Iran, Tehran, (1983) 247-266.
- [3] Karimpur M.H., Malekzadeh Shafaroudi A., Esfandiarpour A., Mohammadnejad H., "Nyshabour Turquoise mine: The first Cu-Au-ULREE IOCG type in Iran (in Persian)", Iranian Journal of Economic Geology 3 (2012) 193-216.
- [4] Gholami S., "Geology, mineralization, geochemistry, and magnetometry of Shotor Sang iron deposit, NE Sabzevar", Ms.C thesis, Ferdowsi University of Mashhad, Mashhad (2009) 240p.
- [5] Panahi M., "Geology, petrography, alteration and geochemistry in eastern part of Hamdi kaolin of Halak Abad (southwestern Sabzevar) with view of copper porphyry exploration, and study of mineralization, geochemistry and magnetometry in eastern of Abozar iron mine, Neyshabour (northeastern of Sabzevar)", Ms.C thesis, Ferdowsi University of Mashhad, Mashhad (2009) 411p.
- [6] Eshbak P., Malekzadeh Shafaroudi A., Karimpour M.H., "Study of Au±Cu mineralization of Jalambadan area (NW Sabzavar) based on mineralogy of alteration and mineralization zones, and geochemistry (in Persian)", Journal of Crystallography and Mineralogy 1 (2018) 31-46.
- [7] Zaree A., Malekzadeh Shafaroudi A., Karimpour M.H., "Khanlokh magnetite-apetite deposit, NW Neyshabour: Mineralogy, structure and texture, alteration, and determination of model (in Persian)", Irananian Journal of Crystallography and Mineralogy 1 (24) (2016) 131-144.
- [8] Steele-MacInnis M., Lecumberri-Sanchez P., Bodnar R.J., "HOKIEFLINCS-H₂O-NACL: A Microsoft Excel spreadsheet for interpreting microthermometric data from fluid inclusions based on the PVTX properties of H₂O-NaCl", Computer in Geosciences 49 (2012) 334-337.
- [9] Lecumberri-Sanchez P., Steel-MacInnis, M., Bodnar, R.J., "A numerical model to estimate trapping conditions of fluid inclusions that

برداشت

رخداد کانه‌زایی مس مشکان به صورت رگه-رگچه‌ای در سامانه گسلی (با راستای بیشتر شمال‌غربی-جنوب‌شرقی) در سنگ میزبان رسوی و از کانی‌های سولفید اولیه کوارتز، کالکوسيت، بورنیت و پیریت شکل گرفته است. دگرسانی‌ها دارای روند خطی و شامل آرژیلی، سیلیسی، کربناتی و پروپلتی هستند. بر اساس نتایج تجزیه زمین‌شیمی نمونه‌های برداشت شده از محل رگه‌ها، بالاترین مقدار مس بیش از ۴۶ درصد، سرب ۲۹ گرم در تن، آنتیموان ۶۵ گرم در تن و روی ۵۰۷ گرم در تن است. براساس بررسی سیال‌های درگیر، محلول کانه‌دار با دمای ۱۷۰ تا ۲۴۰ درجه سانتی‌گراد و شوری ۱۰ تا ۱۳ درصد وزنی که خود نتیجه آمیختگی محلول ماقمایی گرم و سور با آب جوی سرد و دارای شوری کمتر بوده در شکل‌گیری کانی‌سازی مس و سیال دیگری با گستره دمایی مشابه اما شوری بیشتر در شکل-گیری باریت نقش داشته است. کاهش دما نقش اصلی را در ته نشست کانی‌ها ایفا کرده است.

شواهدی چون کنترل ساختاری کانی‌سازی، نوع دگرسانی‌ها و گسترش محدود در لبه رگه، کانی‌شناسی ساده ذخیره و دما و شوری کم محلول کانه‌دار از نشانه‌های سامانه‌های رگه‌ای فراگرمایی است. این شواهد در کنار بی‌هنجری‌های بالای مس، روی، آرسنیک و آنتیموان، می‌توانند نشان دهنده پتانسیل کانی‌سازی عنصری چون مس، روی، آرسنیک و آنتیموان از نوع فراگرمایی در منطقه مس مشکان باشند. در این منطقه، توده‌ای شناسایی نشد که بتوان ارتباط آن را با کانی‌سازی بررسی نمود. این احتمال وجود دارد که توده مربوط به کانی-سازی در عمق یا در فاصله‌ای دورتر از منطقه مورد بررسی باشد. با توجه به وجود نهشته‌های فراوان مس در نواحی پیرامون منطقه مورد بررسی وجود کانسارهای بزرگی چون معدن فیروزه نیشابور و آهن شترسنگ، احتمال دارد که تشکیل این رگه‌ها وابسته به فعالیت‌های ماقمایی-گرمایی کمربند ماقمایی قوچان-سبزوار باشد.

قدرتانی

این پژوهش با حمایت مالی دانشگاه فردوسی مشهد در ارتباط با طرح شماره ۳۴۹۰۱۴ ۱۳۹۷/۱۲/۱۴ انجام شده است. از آقای مهندس علی تنها برای راهنمایی و معرفی منطقه و نیز آقایان حسینی و غلامی که در اجرای عملیات صحراوی کمک نموده‌اند سپاسگذاریم.

- [21] Pirajno F., "Hydrothermal processes and mineral systems", Springer Science, Perth, (2009) 203p.
- [22] Sillitoe R. H., "Epithermal models: Genetic types, geometrical control and shallow features", Geological Association of Canada Special paper 40 (1993) 403 - 417.
- [23] Camprubi A., Albinson T., "Epithermal deposits in Mexico, Update of current knowledge and an empirical reclassification", The Geological Society of America 422 (2007) 14-39.
- [24] Javidi Moghaddam M., Karimpour M.H., Ebrahimi Nasrabadi K., Haidarian Shahri M.R., Malekzadeh Shafaroudi A., "Mineralogy, geochemistry, fluid inclusion and oxygen isotope investigations of epithermal Cu ± Ag veins of the Khur Area, Lut Block, Eastern Iran", Acta Geologica Sinica 92 (2018) 1139-1156.
- [25] Boroozinyat B., Malekzadeh A., Haidarian Shahri M.R., "Mineralogy, geochemistry, and fluid inclusion studies in Zaveh copper mineralization occurrence, southeast of Torbat-e-Hydarieh (in Persian)", Iranian Journal of Crystallography and Mineralogy 24 (2016) 131-144.
- [26] Maanijou, M., Rasa, I., and Lentz, D., "Petrology, Geochemistry, and Stable Isotope Studies of the Chehelkureh Cu-Zn-Pb deposit, Zahedan", Economic Geology 107 (2012) 683-712.
- [27] Maanijou M., Geochemistry, "origin of ore fluids, and formation of Chehelkureh copper deposit (NW of Zahedan)". Ph. D. Thesis, Shahid Beheshti University, Tehran (2007) 236p.
- [28] Beane R.E., "The Magmatic-Meteoric Transition. Geothermal Resources Council", Special Report 13 (1983) 245-253.
- homogenize by halite disappearance", Geochimica et Cosmochimica Acta 92 (2012) 14-22.
- [10] Amini B., "Geological map of Mashkan". Scale 1:100,000. Geological Survey of Iran, (2006).
- [11] Whitney D.L., Evans B.W., "Abbreviations for names of rock-forming minerals", American Mineralogist 95 (2010) 185-187.
- [12] Ossandón G., Fréraut R., Gustafson L.B., Lindsay D.D., "Zentilli M., Geology of the Chuquicamata Mine: A progress report", Economic Geology 96 (2001) 351-366.
- [13] Ramdohr P., "The ore minerals and their intergrowths", 2nd edition. Pergamon, Oxford, 1980, 1207p.
- [14] Barnes H. L., "Geochemistry of hydrothermal ore deposits", Third edition, New York, John Wiley and Sons, (1997) 797pp.
- [15] Rollinson H., "Using geochemical data: evaluation, presentation, interpretation", Longman Scientific & Technical, Essex, UK, (1993) 352 p.
- [16] Roedder E., "Fluid Inclusions", In: Ribbe PE (ed) Reviews in Mineralogy, 12, Mineral Soci Am, Washington DC, (1984) 1-644.
- [17] Shepherd T. J., Rankin A. H., Alderton D. H. M., "A practical guide to fluid inclusion studies", Blackie, London (1985).
- [18] Seward T.M., "The hydrothermal geochemistry of gold", in: Foster, R. P. (ed.), Gold Metallogeny and Exploration, Blakie and Sons Ltd. (1991) 432 p.
- [19] Robb L. J., "Introduction to ore-forming processes", Blackwell Science, Victoria (2005) 373p.
- [20] Foster R. P., "Gold Metallogeny and Exploration", Department of Geology University of Southampton (1996) 432p.